

1. 12月例会の報告

12月21日、法政大において、小野、桧垣両氏の発表が行われた。

小野氏からは、ラップランドの不連續永久凍土帯にみられる周氷河地形をはじめとした興味深い地形の報告が、スライドを中心に行われた。

桧垣氏からは、近年火山灰層序の確立と相まって研究に大きな進展がみられた、北上山地中部の斜面形とその形成期の問題についての発表があった。この中では、斜面堆積物の新しい見方の必要性など、近後の斜面地形研究を考える上で示唆的な議論が交わされた。

この後のスライド大会は、スライド持参者がわずか2名（小野氏、沢口氏）でいまひとつ盛り上りにかけた。（参加者：20名）。

2. 2月例会のお知らせ

2月22日（土）14:30～

東大理学部（2F）地理学講義室

- 1) 嶋津 弘氏（東大・学）：最上川、五百川峡谷部の地形発達史
2) 百瀬 貢氏（駒沢大・院）：松本盆地西縁、乳川流域の

段丘発達史

3. 事務局改組の提案

ともかく現在寒冷地形談話会は会員数111名、大学・研究所への連絡17か所で、通信発送のたびに忙殺をきわめております。そこで、現事務局としては、事務局の負担をわずかでも減少させるために事務局改組を提案したいと思います。改組の具体的な内容については、2月および3月例会で説明いたしますので、なるべくご討議に参加いただけようお願い申しあげます。

寒冷地形談話会12月例会発表要旨、1985年12月21日
北上山地中部における斜面物質移動と斜面形成

松垣大助(建設大学校)

▷ 北上山地には、岩塊流、インボリューションなどの化石同氷河地形が報告されている。この山地の斜面地形は、開拓の進まない平滑斜面で構成され、崩壊によってできた様な地形の占めるウエイトは小さい。この様な特徴を有する斜面の形成には、過去の同氷河作用が関係していると思われるが、本地域は十数万年以上前からの降下火山灰が分布しており、いつ頃、どの様な管力で斜面がつくられたかを調べるのに都合が良い。

ここでは、斜面を位置、形態から 1) 山頂緩斜面、2) 凸型尾根斜面、3) type-a 凹型斜面、4) type-b 凹型斜面、5) 山麓緩斜面、6) 扇状地状緩斜面、7) 沖積錐、崖錐、8) その他の斜面に分けた。

(ア) 上記1), 5), 6) をつくる様な面的物質移動期が3回認められる。オ I 期は R/W 同氷期より前、オ II 期は約 5 万年前後、オ III 期は 3 万～1 万数千年前であり、オ II, III 期は Involution 形成期に対応して solifluction, wash 等の管力による。なめらかな横断形を持つ 2), 3) の形成もオ II, III 期に進んだとみられる。

(イ) 5), 6) の多くのものが、10 数万年以上前に形成が始まっている。Wijrm Maximum とされるオ III 期における物質移動量はあまり大きくはなかった。また、オ III 期には河川管力の低下を考えられる。

(ウ) 4), 7) は完新世に入つてから崩壊及び洪水灰、土石流によつて形成された。その形成期は現在に及んでいたが、約 5 千年前以前に崩壊多発期が推定される。(以上、図-3 参照)

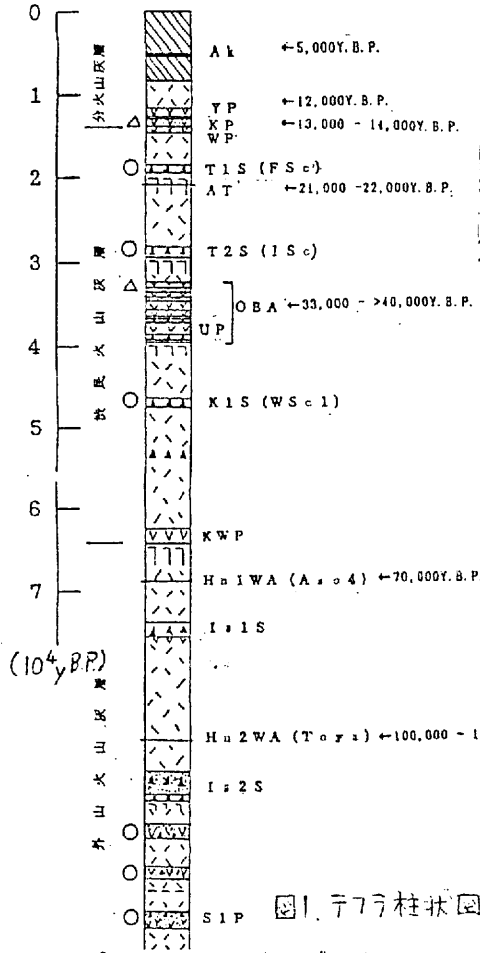


図1. テラコ柱状図

○ = 北上川上流域地帯で Involution がよく発達する。

△ = グレーディング層ではないが Involution が認められることがある。

図-3: 北上山地の地形発達史(案)

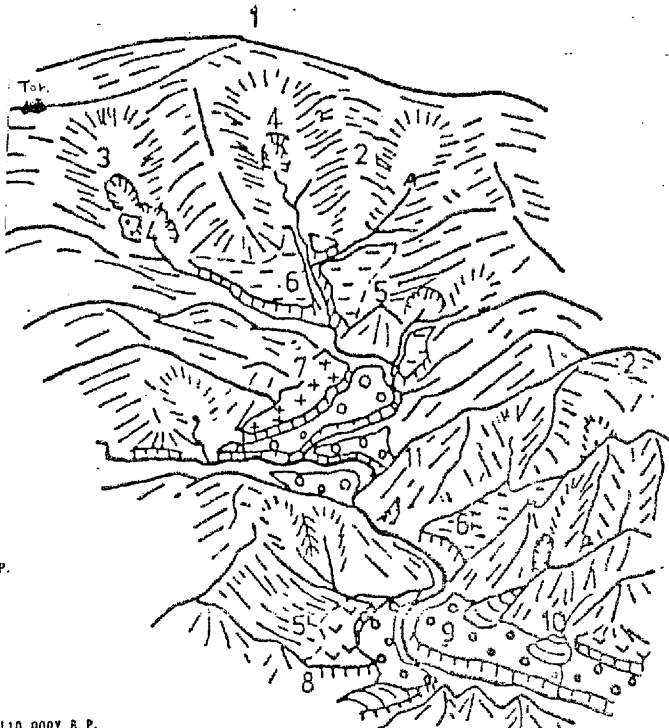


図2. 北上山地中北部の地形構成概念図

1. 山頂緩斜面
2. 凸型尾根斜面
3. type-a 凹型斜面
4. type-b 凹型斜面
5. 山麓緩斜面
6. 扇状地状緩斜面
7. 8. 中位河岸段丘
9. 低位河岸段丘
10. 沖積堆・崖鑿
11. もと他の山底全斜面

地形区分	年代	10	9	8	7	6	5	4	3	2	1	0.5	0
気温	寒												温
Involution	温												寒
山頂緩斜面					?								岩屑生產・ソリフラクション
凸型尾根斜面			?			?							岩屑生產・ソリフラクション
type-a凹型斜面		?		?									岩屑堆積・ソリフラクション
山麓緩斜面			?		?								岩屑堆積・ソリフラクション
扇状地状緩斜面					?								岩屑堆積・カセッシュ・フロー(=ソリフラクション) 下刻
type-b凹型斜面 沖積堆・崖鑿													崩壊・土石流
河岸段丘			河岸段丘		?								中位段丘 下刻 崩壊
													中位段丘 上部段丘 下刻 崩壊
													堆積大 下刻 崩壊
													堆積小 下刻 崩壊

寒冷地形講習会 12月例会

1985. 12. 21.

「Swedish Lapland・不連続氷永久凍土帯の地形」

小野 勝五 (筑波大)

Swedish Lapland は、日本領域が不連続氷永久凍土帯に含まれる。そこにはペルサ、泥炭台地、ツンドラ・ホリゴンが発達し、一部ではヒンゴ状地形や氷棱丘 (ice-cored mounds) がみられる。またここには Rapp (1960) の古氷的砾窓が行き山たブルト (kärkevagge) の谷があり、その縁も周氷河プロセスの砾窓が沿岸を形成を示している。1985年8~9月にかけてこの地域を訪ねて機会を得たので観察した地形と、現在、行き山にて研究について報告する。

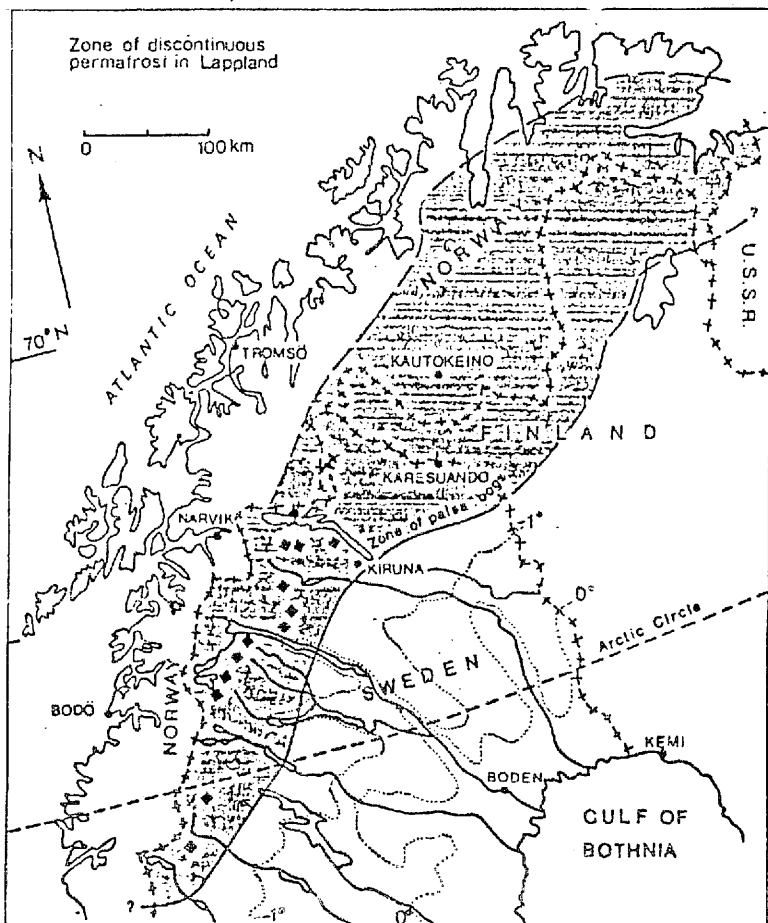


Fig. 1: Map of the distribution of discontinuous permafrost in northern Scandinavia. The limits of the zone of palsas are based on maps by Melander, 1976 and later, and Rapp & Clark, 1971 for Sweden, Seppälä, 1979 for Finland, and Ahman, 1977 for Norway. Black squares mark the sites of large non-sorted polygons (cundra polygons) in the Swedish mountains. Dotted lines are mean annual air temperature lines of 0°C and -1°C in Sweden, period 1901-1930.

寒冷地形学会 12月例会

1985. 12. 21.

Swedish Lapland・不連続の永久凍土帶の地形

小野 有志 (筑波大)

Swedish Lapland は、ほぼ全域が不連続の永久凍土帶に含まれる。そこではペルサ、泥炭地帯、ツンドラ・ホリゴンが発達し、一部ではピニゴ状地形や氷核丘 (ice-cored mounds) がみられる。またここでは Rapp (1960) の古典的研究が行なわれたアルト・Kärtkevagge の谷があり、その縁も周氷河プロセスの研究が活発に行なわれている。1985年8~9月にかけてこの地域を訪ねて機会を得たので、観察した地形と、現在、行なっている研究について紹介する。

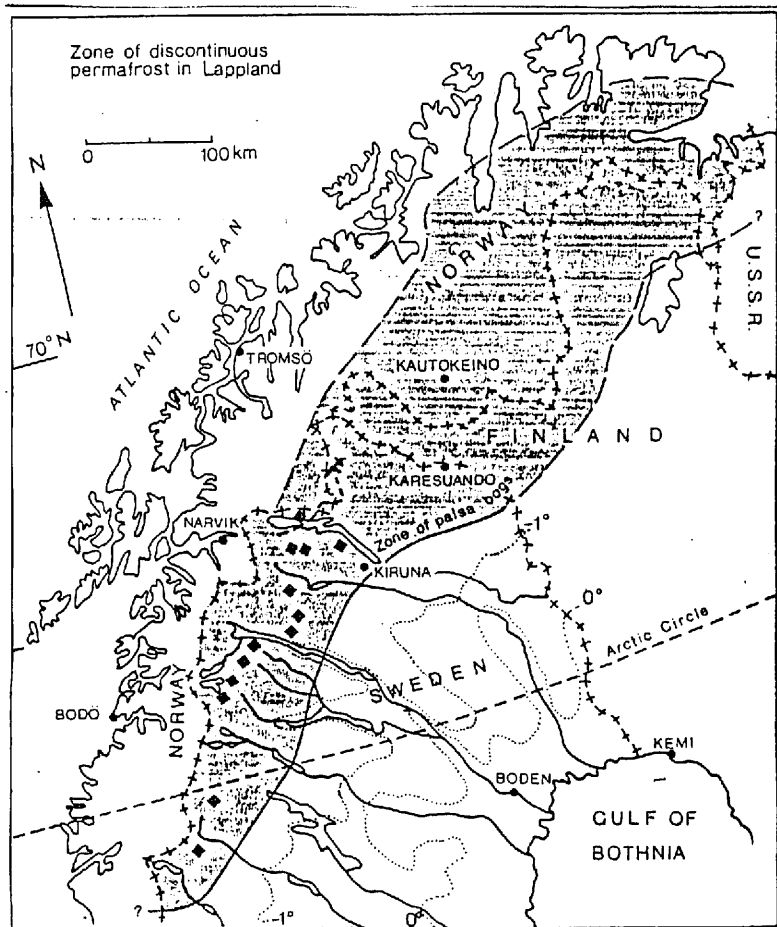


Fig. 1: Map of the distribution of discontinuous permafrost in northern Scandinavia. The limits of the zone of palsas bogs are based on maps by Melander, 1976 and later, and Rapp & Clark, 1971 for Sweden, Seppälä, 1979 for Finland, and Abman, 1977 for Norway. Black squares mark the sites of large non-sorted polygons (tundra polygons) in the Swedish mountains. Dotted lines are mean annual air temperature lines of 0°C and -1°C in Sweden, period 1901-1930.

■ ツンドラホリゴン

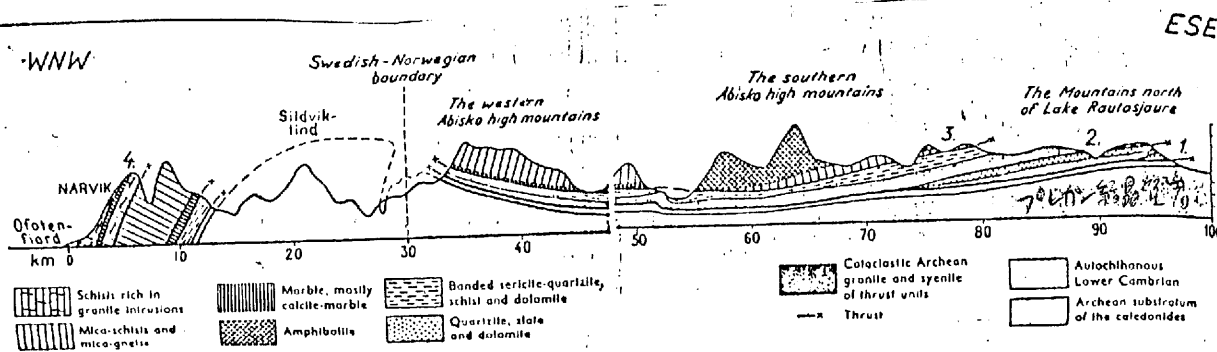


Table 1. Mean annual air temperatures and precipitation for weather stations near palsal bogs in northern Fennoscandia (S = Sweden, F = Finland, N = Norway).

Station	Alt.	Temp.	Precip.	Period	Source
Riksgränsen, S.	522	-1.5	844	1901-30	Ekman, 1957
Abisko, S.	388	-1.0	267	"	"
Kiruna, S.	510	-1.9	453	"	"
Karesuando, S.	332	-2.3	325	"	"
Ivalo, F.	125	-0.8	396	1961-75	Mansikkaniemi, 1979
Karasjokk, N.	135	-2.5	364	1960-74	Ahman, 1977
Kautokeino, N.	318	-2.8	338	"	"

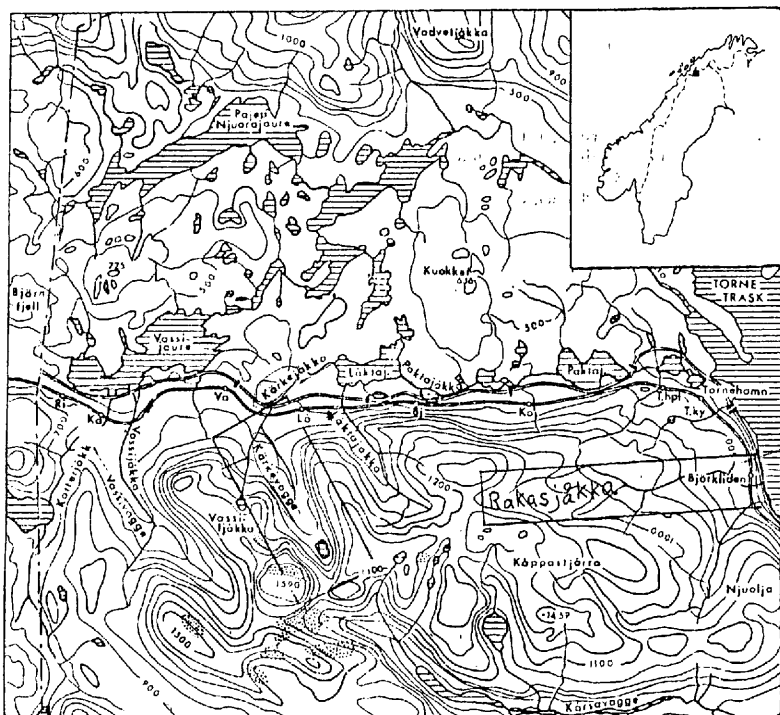


Fig 1. The study area and surroundings near the Norwegian border. Katterjåkk (Ka on the map) is the nearest meteorological station. Present day glaciers (and glacier remnants) are marked by dotted areas on the map.

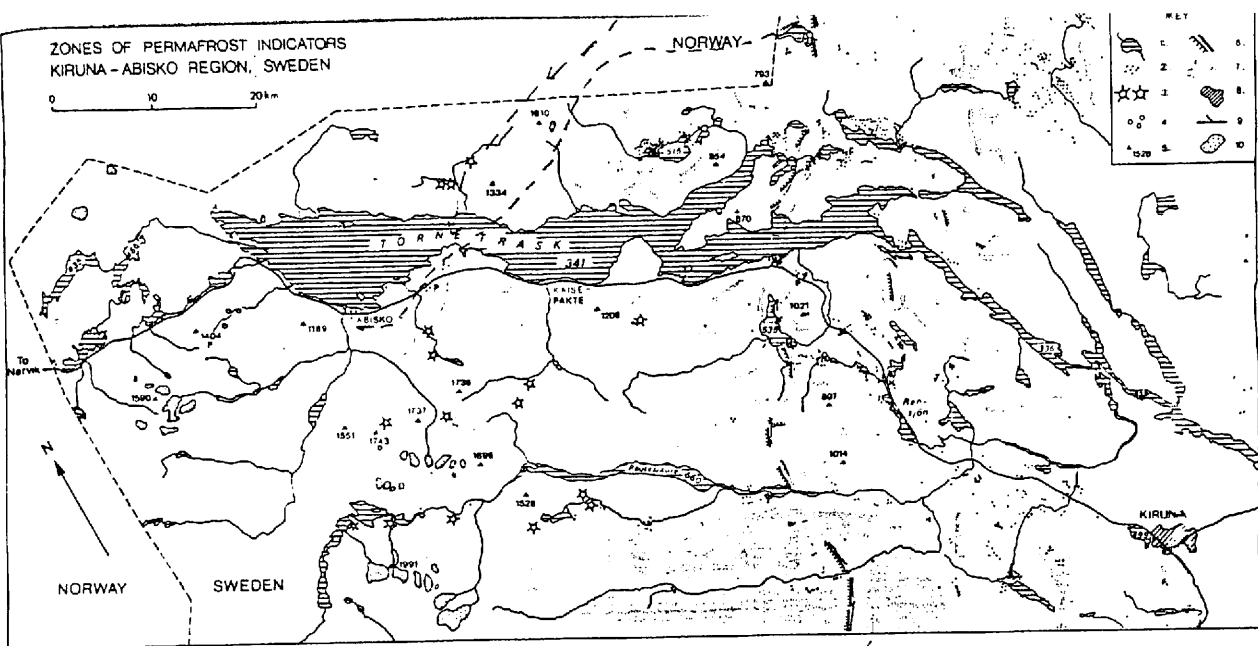


Fig. 2. Map of zones of permafrost indicators in the Kiruna-Abisko region, N. Sweden. The map is based on Melander, 1976 and 1977, and own observations. Grey tone indicates areas above 600 m a. s. l., which is the approximate birch forest limit in this region. Key: 1 = lake. 2 = groups of palsas. 3 = area of large non-sorted polygons. 4 = thermokarst ponds ("collapsed pingos"). 5 = mountain summit and altitude in meters. 6 = Superposed neotectonic faults. 7 = area above 600 m altitude. 8 = town. 9 = road. 10 = glacier. p = permafrost revealed by drilling or excavation.

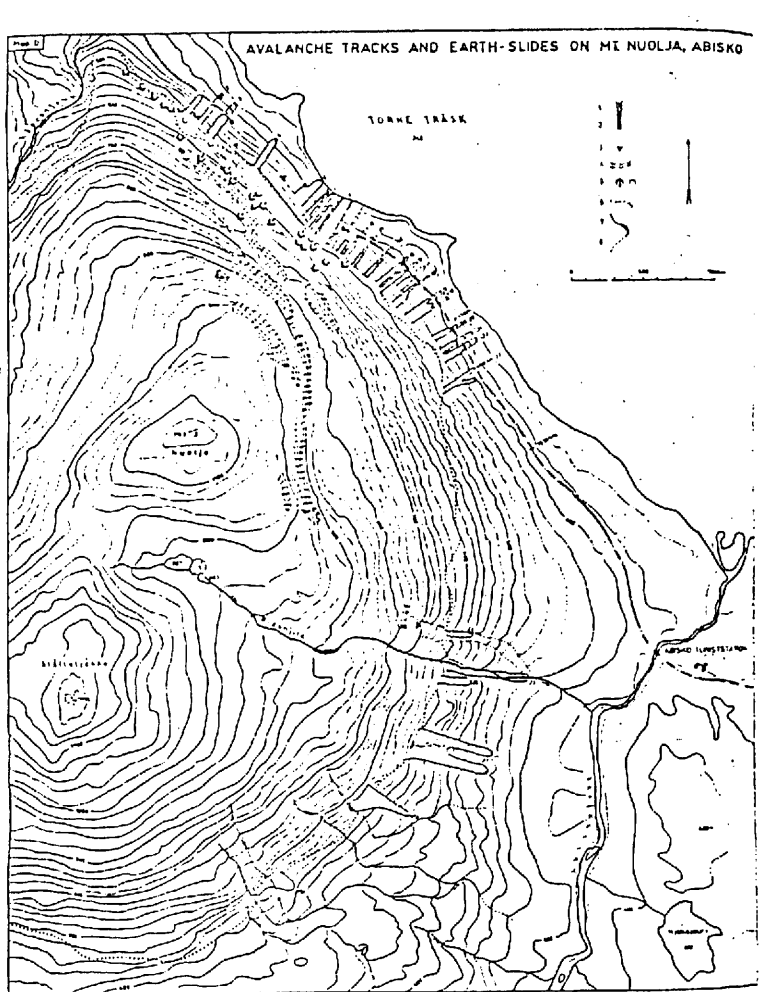


Fig. 2a. Avalanche tracks and earth-slides on Mt. Nuolja, Abisko, Lappland. The avalanches fell the birches but seem to cause only very slight erosion on the ground, probably because they are superficial. Most avalanches came from lee-side snow-drifts in depressions high above the forest limit. Position, see Fig. 2. 1, 2 = Avalanche tracks in the birch forest. 3 = Boulder-falls. 4 = Rock-wall. 5 = Earth-slide scars. The symbol to the right marks earth-slide etc. created on October 6, 1959. 6 = Forest limit. 7, 8 = Stuceros. (After G. LARSSON, 1959.)

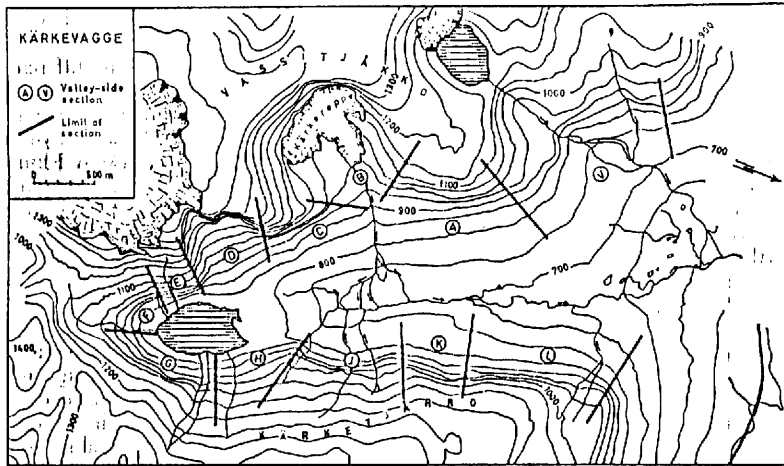


Fig. 2. Map showing the limits of valley-side sections in Kärkevagge valley (from RAPP 1960). Observations were made within sections A, B, C, H, J and L.

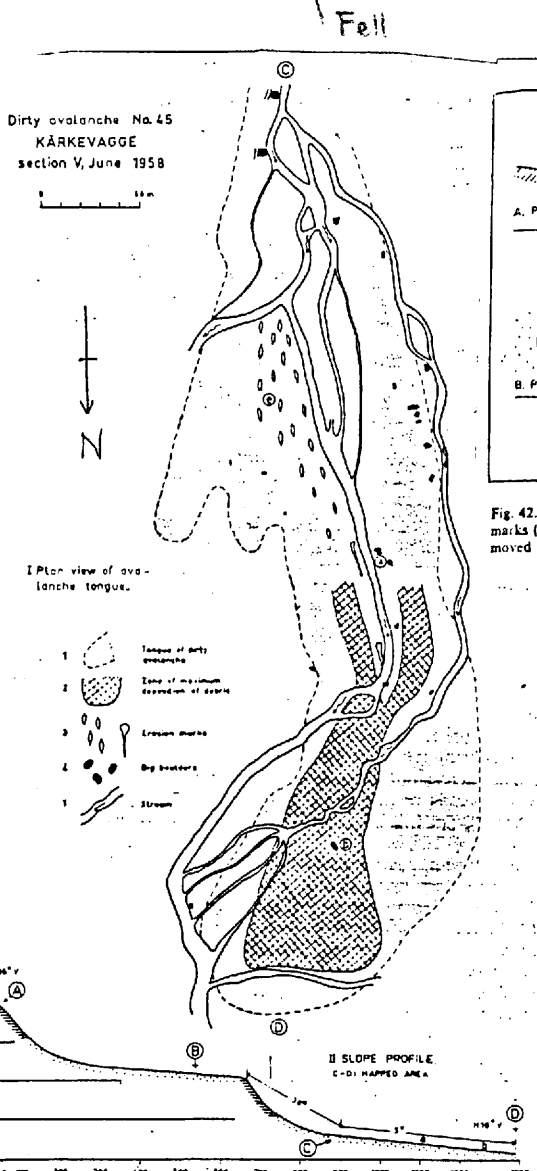


Fig. 40. Detail map of dirty avalanche No. V. 45, 1958. Position, see Map I. The big boulder in Fig. 41 was moved from a to b. Point c shows the site of Fig. 42. The boulders marked near the margins and the upper part of the tongue were not moved.

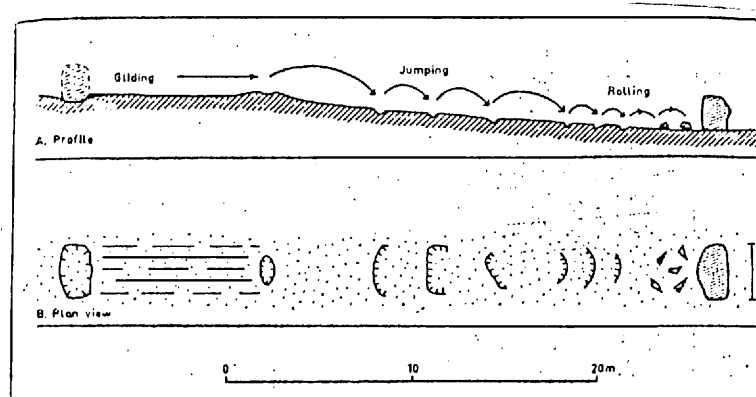


Fig. 42. Sketch showing the mechanism of plucking and transport of boulders by avalanches. Different types of marks (grooves, bump holes etc.) are typical of many avalanche tracks. In this case one boulder (3×1.5×1.5 m) moved by the avalanche V 45, 1958, about 30 m over almost horizontal ground. Site, see Fig. 40, letter e.

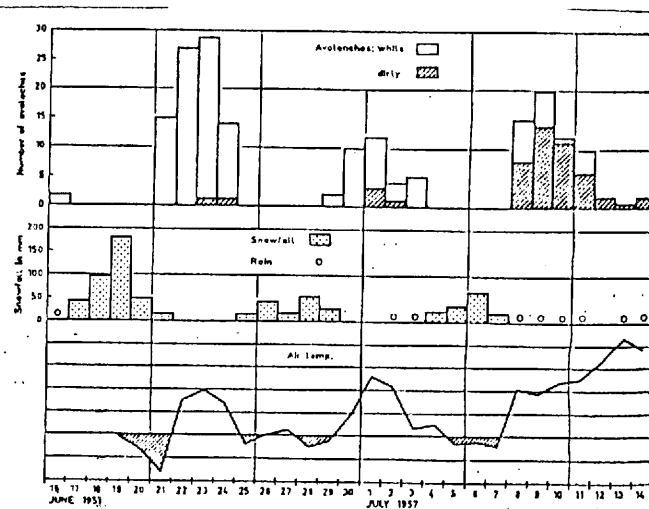


Fig. 35. Correlation between frequency of avalanches from E-facing walls, snowfall and air temperature respectively at the Mikka glacier, Sarek, Lappland. Avalanches occur mainly during thaw periods after snowfall. The number of dirty avalanches increase at the end of the snow-melting, which in this year was at least two weeks later than usual. After JOSSESSON, (1958).

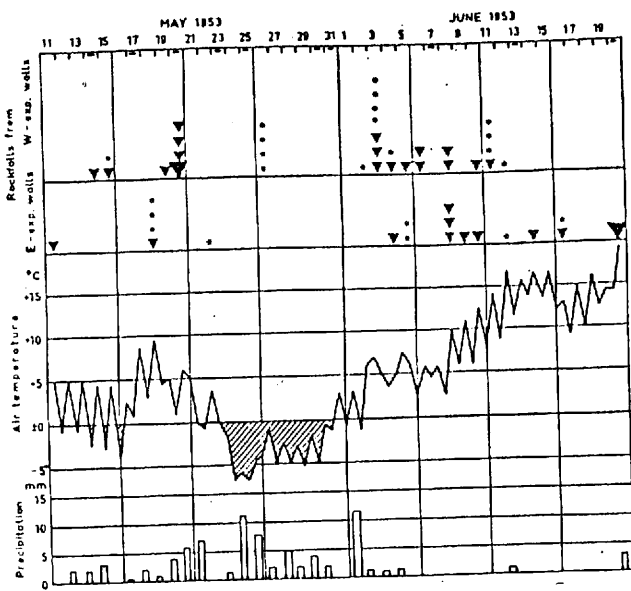


Fig. 18. Correlation between rockfalls, air temperature and precipitation in May and June 1953. Rockfalls recorded by inventories on snow all days except those marked by a minus (-) on top of the graph. Cf. Appendix, Table II. The diagram shows highest frequency of rockfalls at thawing. Each case of rockfall recorded is marked by a dot (pebble-fall), a small triangle (small boulder-fall) or a big triangle (big boulder-fall). Air temperature at 0h and 13h from recordings in Kärkevagge at 820 m altitude. Precipitation at Riksgränsen weather station.

Table 32. Denudation of slopes in Kärkevagge 1952—1960 given in quantities per year. The average gradient is roughly indicated in 45°, 30° or 15°. The transfer by sheet-slides has been calculated for each case (12—420 m and 70—600 m respectively). For further explanation, see comments in the text.

Process	Volume, m ³	Density	Tons (t)	Tons per km ²	Average movement m	Average gradient	Ton-metres (vertical)
Rockfalls							
Pebble-falls.....	5 b	2.6	13	1	90 a	45°	845
Small boulder-falls.....	10 b	2.6	26	1.7	225 a	45°	4,160
Big boulder-falls.....	35 a	2.6	91	6	225 a	45°	14,560
Avalanches							
Small avalanches.....	8 b	2.6	21	1.4	100 b	30°	1,050
Big avalanches (Slushers).....	80 a	2.6	208	14	200 b	30°	20,800
Earth-slides etc.							
Bowl-slides.....	170 a	1.8	300	20	0.5 a	30°	75
Sheet-slides.....	190 a	1.8	340	23	12—420 a	30°	20,000
Sheet-slides + mud- flows.....	150 a	1.8	270	18	70—600 a	30°	70,000
Other mudflows.....	70 b	1.8	126	8.4	100 b	30°	6,300
Creep							
Talus-creep.....	300,000 b	1.8	—	—	0.01 b	30°	2,700 ^d
Solifluction.....	550,000 b	1.8	—	—	0.02 b	15°	5,300 ^e
Running water							
Dissolved salts.....	150 b	2.6	390	26	700 b	30°	136,500
Slope wash.....	?						?

^d Horizontal component of talus-creep = 4,700.

^e Horizontal component of solifluction = 19,800.

Rapp, 1960 Rapp, 1960

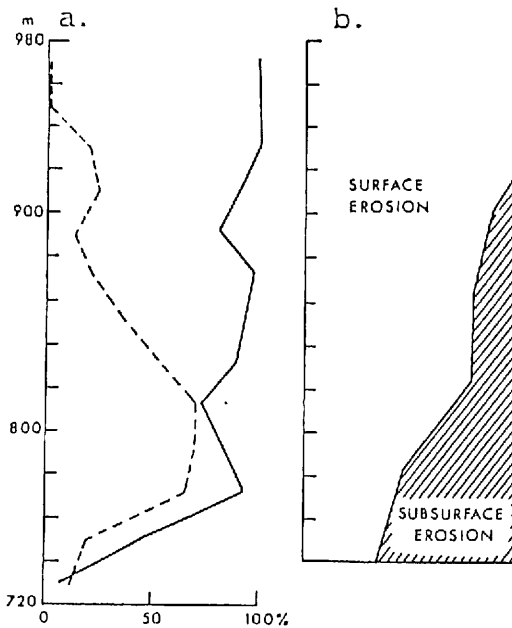


Fig. 4. Number of gelifluction lobes (dotted line, left hand diagram), per-cent non destroyed gelifluction lobes of the total number (full drawn line of the left hand diagram) and the relation between lobes destroyed by surface and subsurface erosion (right hand diagram).

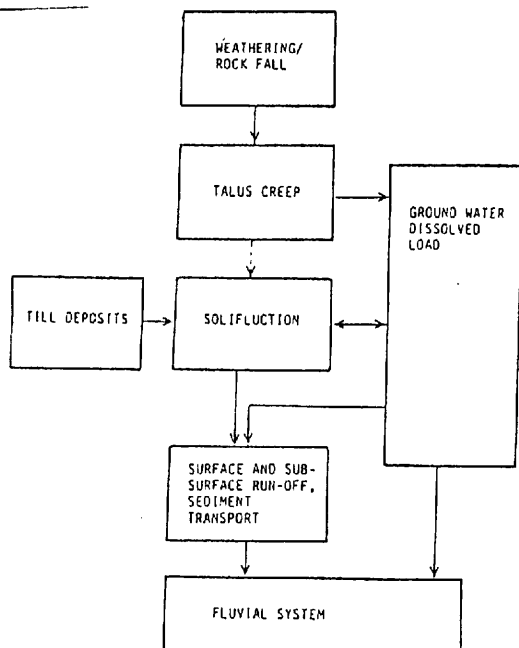


Fig. 3. Principles for sediment transfer on a periglacial slope. Weathering and rockfall feed the talus slope where material is relocated by talus creep. Very little is transported further downslope to the gelifluction slope, that is formed by transformation of till. The gelifluction slope is eroded by both surface and subsurface erosion.

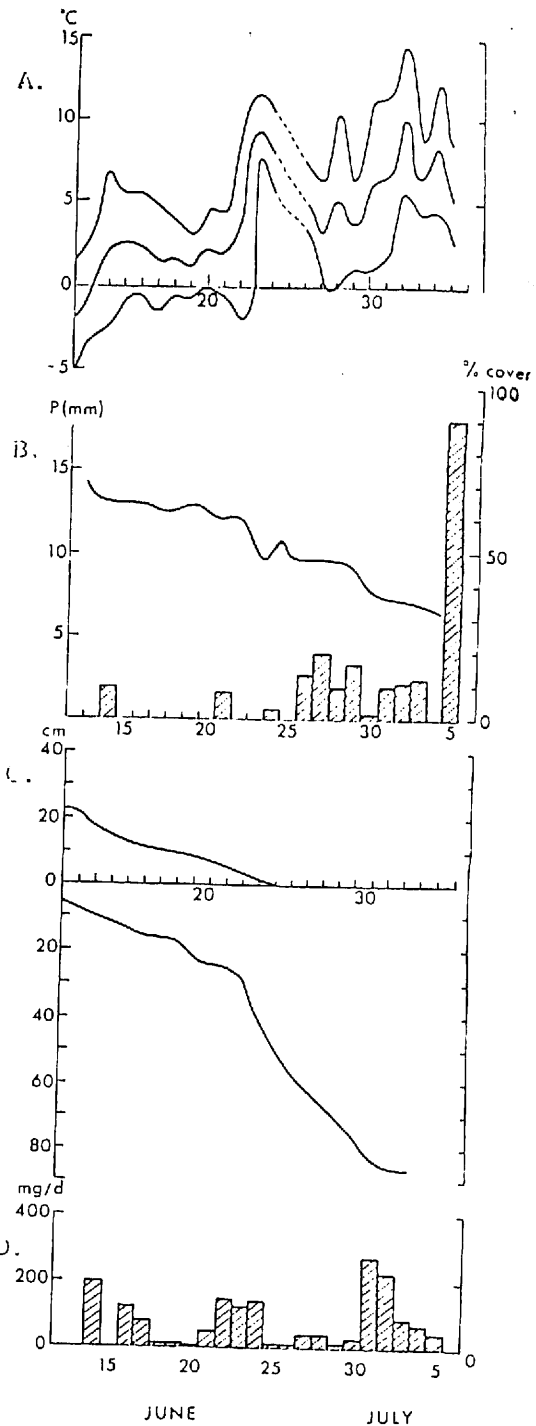


Fig. 5. Observations of air temperature (max., mean, min.) (A), precipitation (hatched) and snow cover in per-cent of the slope area (B), thickness och snow cover and frost depth on lobe no 2 (cf. Fig. 6) (C) and sediment production in mg d^{-1} during the same period (D).

Strömper